

Федеральное государственное автономное образовательное учреждение  
высшего образования

**«Национальный исследовательский университет  
«Высшая школа экономики»**

Факультет компьютерных наук

ОП «Прикладная математика и информатика»

## **Отчёт о прохождении практики**

**Студент:** Рубачёв Иван Викторович

**Группа:** БПМИ165

**Вид практики:** Учебная

Руководитель:

К.ф.-м.н., доцент,  
Конушин Антон Сергеевич

---

Москва, 2017

# Содержание

<b>Введение</b>	<b>2</b>
<b>Основная часть</b>	<b>3</b>
Совмещение каналов изображения . . . . .	3
Контекстно-зависимое масштабирование изображений . . . . .	5
Распознавание автодорожных знаков . . . . .	8
<b>Заключение</b>	<b>10</b>
<b>Список используемых источников</b>	<b>11</b>

# Введение

Цель данной практики: получение базовых знаний и ознакомление с компьютерным зрением и машинным обучением. Во время прохождения практики было необходимо просмотреть и изучить 5 видеолекций курса «Введение в компьютерное зрение и глубинное обучение» на следующие темы:

- История и предмет компьютерного зрения
- Основы обработки изображений
- Особые точки и сопоставление изображений
- Введение в машинное обучение
- Классификация изображений

Также нужно было выполнить 3 практических задания для отработки изученных методов и закрепления знаний, полученных при просмотре лекций. Первое задание заключалось в реконструкция изображений Прокудина-Горского, во втором задании необходимо было реализовать алгоритм изменения размеров изображения с сохранением пропорций. В последнем задании необходимо было использовать алгоритм классификации SVM для распознавания дорожных знаков. Каждую из задач необходимо было сдать в тестирующую систему, которая оценивала выполнение в соответствии с критериями указанными в заданиях.

В основной части отчёта содержится более подробная информация о проделанной работе. Заключение содержит информацию о полученных знаниях и навыках, их актуальности.

## Основная часть

В данном разделе отчёта более подробно описана проделанная работа (в частности выполнение практических заданий). Смысл поставленных передо мной задач заключался по-большому счету в получении новых знаний и практических навыков в области компьютерного зрения. Поскольку практика подразумевает введение в область, знания приобретенные во время её прохождения необходимы и актуальны при изучении других более продвинутых разделов компьютерного зрения.

При выполнении данной практики я старался выполнять практические задания после изучения лекций, содержавших материалы имеющие к ним отношение.

## Совмещение каналов изображения

К выполнению первого практического задания я приступил после просмотра вводной лекции (об истории и предмете компьютерного зрения), так как для успешного выполнения этого задания было достаточно знать python и то как представляются цветные изображения.

В первом задании необходимо было реализовать функцию, которая принимает изображение, полученное сканированием фотопластинки содержащей три изображения в градациях серого, и возвращает цветное изображение. Три изображения на входе соответствуют синему, зеленому и красному цветовым каналам, также на вход подается координата точки зеленого канала. Помимо совмещенного цветного изображения, функция должна вернуть соответствующие координаты синего и красного цветовых каналов.

Данную задачу было предложено выполнять последовательно: сначала реализовать базовое совмещение слоев, а затем дополнить его и реализовать более эффективный алгоритм совмещения «с помощью пирамиды».

## Базовое совмещение

Базовый алгоритм совмещения прост: входное изображение делим на 3 равные части по горизонтали — получаем синий, зеленый и красный слои. Далее каждый слой обрезаем, чтобы избавиться от рамок, затем находим сдвиги синего и красного слоев относительно зеленого, для этого используя метрику (среднеквадратичное отклонение или нормализованную кросс-корреляцию) находим перебором среди всех возможных пар сдвигов от  $-15$  до  $15$  пикселей ту, для которой значение метрики оптимально.

Так как изображения на вход подаются в градациях серого, то разделить изображение на три канала, а затем обрезать полученные три изображения — простые операции над двумерными массивами. Затем используя одну из двух метрик находим сдвиг (перебирая все возможные сдвиги), затем сдвигая одно изображение относительно другого, для этого можно использовать функцию `np.roll()`. На очередной итерации сдвигаем изображение, находим значение метрики перезаписываем оптимальный сдвиг если значение меньше (больше для кросс-корреляции). В итоге получаем оптимальный сдвиг одного изображения относительно другого. Стоит отметить, что после проверок было решено использовать среднюю квадратичную ошибку, так как нормализованная кросс-корреляция не давала существенного увеличения точности. При подсчете среднеквадратичного отклонения на целых изображениях, а не в пределах перекрывающихся областей, изменений в точности замечено не было. Оставалось просто найти описанным выше способом сдвиг синего и красного каналов относительно зеленого и совместить эти три слоя предварительно сдвинув с помощью `np.roll()`. В результате получаем совмещенное цветное изображение. Зная сдвиги не сложно посчитать координаты соответствующих точек красного и синего каналов по заданной точке зеленого.

## Совмещение с помощью пирамиды

При совмещении больших изображений базовый подход с перебором всех возможных сдвигов работает очень долго. Совмещение с помощью пирамиды — метод, который позволяет ускорить совмещение больших изображений. Для реализации данного типа совмещения была использована рекурсивная функция, работающая следующим образом: если высота переданного изображения  $< 300$  то используем базовый алгоритм совмещения и находим сдвиг в промежутке  $[-15, 15]$ , иначе уменьшаем изображение в два раза и вызываем функцию рекурсивно, затем сохраняем сдвиги уменьшенных изображений, полученных рекурсивно. Умножаем сдвиги на два и возвращаем результат базового совмещения для изображений исходного размера (не уменьшенных на данном шаге рекурсии) со сдвигом в промежутке  $[dx - 1; dx + 1]$  и  $[dy - 1; dy + 1]$ , где  $dx, dy$  — сдвиги найденные функцией рекурсивно.

Тестирование показало, что нижняя граница в 300 пикселей и уточнение сдвига на  $\pm 1$  пиксель позволяют достичь желаемой точности нахождения сдвига, при этом работая быстро (С данными параметрами на большом изображении 2,61 секунды на совмещение).

В итоге был реализован базовый алгоритм совмещения каналов изображения, который впоследствии был доработан для увеличения эффективности.

# Контекстно-зависимое масштабирование изображений

Перед выполнением второго практического задания были просмотрены вторая и третья лекции. Из второй лекции я узнал о некоторых базовых определениях используемых в обработке изображений (примеры), а также о наиболее часто встречающихся дефектах (слабая контрастность, неправильные цвета, шумы) и способах их устранения (линейная тональная коррекция, робастная линейная коррекция, гамма коррекция, модель «серого мира» и более сложные модели для цветокоррекции). Также был рассмотрен способ выделения краев изображения — данная информация была полезна при выполнении практического задания. Из 3 лекции я узнал о сопоставлении изображений и нахождении особенностей изображения.

Во втором задании было необходимо ознакомиться с алгоритмом контекстно-зависимого изменения размеров изображения (seam carving) и реализовать функцию уменьшающую изображение на 1 пиксель в ширину или высоту. Данный алгоритм позволяет изменять размер изображения сохраняя при этом размеры наиболее важных объектов — это одно из преимуществ алгоритма по отношению к стандартному подходу к масштабированию (при котором объекты на изображении изменяют свои размеры вместе с изображением). Второе преимущество заключается в том, что этот алгоритм позволяет с помощью маски выделять объекты, которые необходимо удалить из изображения (или оставить на изображении). Более продвинутые версии данного алгоритма используются в программах для редактирования изображений, также существуют версии алгоритма для масштабирования видеозаписей. Контекстно-зависимое изменение размеров изображения используемый на практике и полезный инструмент.

## Сжатие изображения

Алгоритм сжатия заключается в нахождении швов, удаление которых будет наименее заметно. Швом называется связанная кривая, соединяющая первую и последнюю строчки или столбцы изображения. На каждом шаге необходимо удалять шов с минимальной энергией, где энергия каждого отдельного пикселя — модуль градиента в этой точке, энергия шва — сумма энергий точек в него входящих. Таким образом, тот шов который проходит через наименьшее количество перепадов яркости будет иметь меньшую энергию и будет удален раньше, тем самым удастся сохранить объекты, которые имеют достаточно сложную структуру.

Так как на входе мы получаем цветное изображение, а для нахождения шва используем яркость, необходимо перевести изображение из цветовой модели RGB в YUV и взять компоненту Y — яркость изображения. По началу было решено использовать библиотечную функцию для пе-

ревода `skimage.color.rgb2yuv()`, в дальнейшем выяснилось, что при таком подходе находится не тот шов и было решено использовать формулу, после чего швы совпадали с сохраненными для проверки:

$$Y = 0,299 \cdot R + 0,587 \cdot G + 0,114 \cdot B$$

После того, как была получена яркость необходимо было посчитать градиент изображения, для этого нужно было пройти по изображению, в каждой точке найти частную производную по  $x$  и по  $y$ , воспользовавшись формулами:

$$I'_x = Y(x + 1, y) - Y(x - 1, y)$$

$$I'_y = Y(x, y + 1) - Y(x, y - 1)$$

На границе изображения производные находятся с помощью аппроксимации первого порядка. Затем находим норму градиента:  $\text{img\_energy} = \sqrt{(I'_x)^2 + (I'_y)^2}$ .

Для нахождения шва с минимальной энергией создаем копию матрицы с энергиями точек (можно создать пустую и скопировать первую строку). Далее заполняем с помощью динамического программирования матрицу и получаем в последней строке значения с энергиями некоторых швов. Среди них выбираем самую левую точку с наименьшим значением энергии (просто проходясь в цикле по последней строке). Затем восстанавливаем ответ, находя координаты каждой точки шва с нижней по верхнюю. В конце удаляем шов из изображения. Таким образом реализовано сжатие изображения по горизонтали. Чтобы сжать его по вертикали достаточно повернуть его на  $90^\circ$ . На удивление с поворотом изображения было больше всего проблем. Сначала было решено использовать функцию `scipy.ndimage.interpolation.rotate()`, которая вообще говоря наиболее универсальна (поворачивает на любой угол), поэтому работает с погрешностями при повороте изображения на  $90^\circ$ , что приводит к тому, что полученные швы не сходятся с проверочными. После обнаружения этой проблемы было решено использовать функцию `np.rot90()`, которая как оказалось тоже работает не точно и при проверке было обнаружено, что найденные швы отличаются от сохраненных для проверки в 3 – 4 точках (такие швы к сожалению считались не правильными, несмотря на то, что абсолютное большинство координат точек совпадало). В итоге решением этой проблемы было использование функции `np.swapaxis()`. Ниже представлены два изображения: до и после изменения размера с использованием реализованного алгоритма.



Рис. 1: Изображения до и после сжатия

## Работа с маской и расширение изображения

С помощью маски можно контролировать выбор швов, искусственно уменьшая или увеличивая значения энергии точек на изображении (чтобы они попали в швы или наоборот не попали). Для удобства к алгоритму написанному ранее можно добавить маску и в случае, когда маску на входе не передают использовать маску с нулевыми значениями (которая просто ничего не будет изменять). Также чтобы добавить поддержку маски нужно при нахождении энергии изображения нужно учесть значения маски следующим образом: `img_energy += mask * image.shape[0] * image.shape[1] * 256`.



Рис. 2: Результат работы алгоритма с ошибкой

Для расширения изображения нужно снова найти шов с минимальной энергией и справа от него добавить новый, который является усреднением минимального и следующего за ним. Затем мы изменяем маску, добавляя в нее минимальный шов, чтобы избежать ситуации в которой минимальный шов при нескольких итерациях все время один и тот же. Если этого не сделать при увеличении изображения будем получать размытую область как на рисунке 2.

В итоге был реализован алгоритм контекстно-зависимого масштабирования изображений, прошедший тестирование. Стоит отметить, что данная реализация далеко не самая производительная так на удаление 10 швов уходит 20,2 секунд.



# Распознавание автодорожных знаков

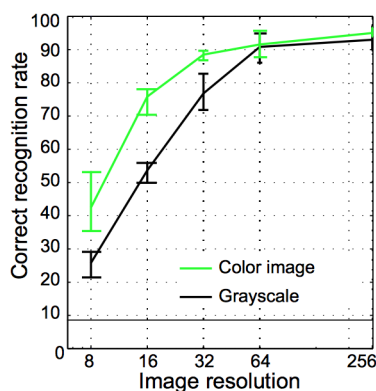


Рис. 3: График из лекции

Далее были просмотрены лекции о машинном обучении и классификации изображений. В 3 задании было необходимо реализовать классификатор автодорожных знаков на основе признаков HOG с помощью SVM.

Первый этап — предобработка изображений. Для начала отметим, что с погрешностью в 1 – 2 пикселя соотношения сторон во всех изображениях: 1 к 1. Так как все изображения различного размера, необходимо было обрезать и изменить их размер. Было решено использовать для классификации изображения в градациях серого, размером 64 на 64 пикселя. Такой выбор был осуществ-

лен в связи с полученной из 5 лекции информацией о точности классификации изображений человеком в зависимости от размера и с учетом или без учета цвета. Понятно, что все изображения нужно привести к одному и тому же размеру, чтобы получить векторы одинаковой длины для дальнейшего обучения классификатора.

## Функция извлечения признаков HOG

Опишем алгоритм извлечения признаков из изображения. Алгоритм извлечения признаков позволяет упростить изображение, извлекая полезную информацию и выкидывая излишнюю. На входе такие алгоритмы обычно получают изображения, а возвращают вектор признаков. В данной задаче нужно было написать дескриптор HOG (Histogram of Oriented Gradients). Основная информация, которую использует алгоритм — модули и направления градиентов изображения. После предобработки изображения, посчитаем частные производные  $dx$ ,  $dy$  (для этого, чтобы ускорить работу алгоритма будем использовать функцию `np.gradient`), далее находим модули градиентов по формуле  $magnitude = \sqrt{dx^2 + dy^2}$ . Затем находим углы по формуле  $ang = \arctan\left(\frac{dy}{dx}\right)$ . Дополнительно можем зеркалировать направления векторов градиента. Теперь в каждой из ячеек изображения некоторой фиксированной ширины `cellCols` и высоты `cellRows` построим гистограммы направлений по следующему принципу: создаем вектор длиной в количество корзин, в каждом элементе вектора будем накапливать значения модулей векторов с соответствующими углами. Иными словами, если угол вектора равен углу одной из корзин, увеличиваем соответствующий этой корзине элемент вектора на значение его модуля, если же угол не совпадает ни с одной из корзин, делим значение модуля между двумя соседними корзинами в соотношении отклонений

от них. Наглядно алгоритм построения гистограммы выглядит следующим образом:

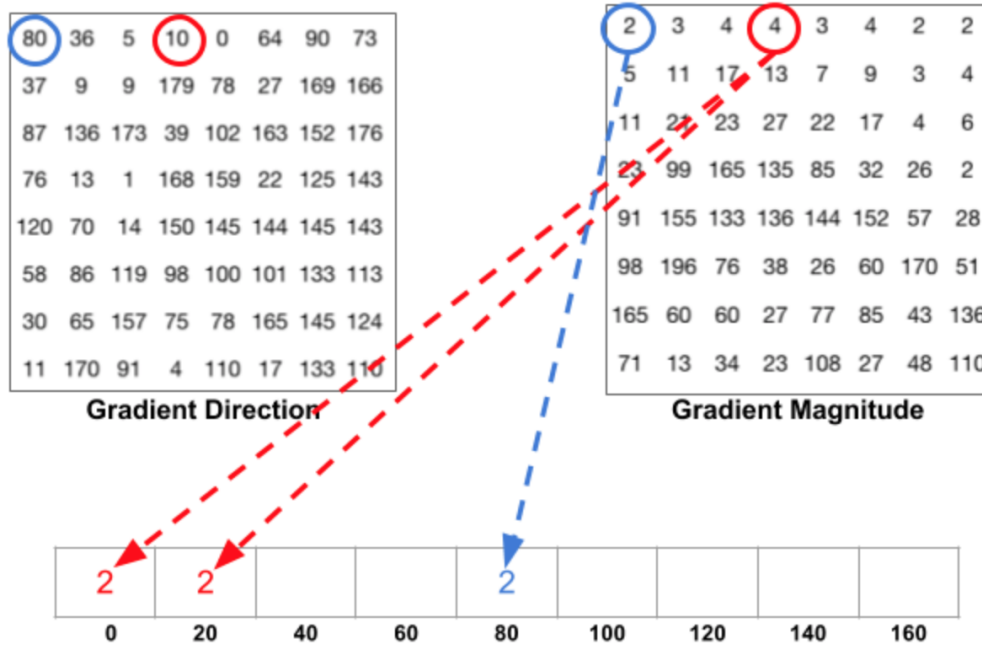


Рис. 4: Два шага алгоритма построения гистограммы. [3]

После этого полученные гистограммы необходимо нормировать, так как мы составляем их на основе модулей градиентов и в случае, если измениться яркость изображения, то и значения векторов (гистограмм) будут различны, что не желательно, так как с точки зрения классификации изображения должны быть одинаковы. Для этого объединяя ячейки в блоки по  $\text{blockRows} \times \text{blockCols}$  ячеек и нормируем:

$$v = \frac{v}{\sqrt{|v|^2 + \varepsilon}}$$

Стоит отметить, что блоки мы формируем с наложением, то есть все ячейки кроме крайних участвуют в нескольких блоках.

## Классификатор. Поиск оптимальных параметров

Для классификации изображений было предложено использовать метод опорных векторов. Для обучения классификатора и его дальнейшего тестирования была предоставлена выборка из 39209 изображений содержащих 43 различных класса дорожных знаков. Для менее точного, но значительно более быстрого тестирования и первоначального подбора параметров, выборка была случайно разбита на две части: тренировочную выборку и контрольную (обычно в отношении 0.7 к 0.3). Первоначальные параметры для дескриптора НОГ были подобраны по аналогии с

теми, что используются в статье [2], как показала практика, с этими параметрами можно достичь высокой точности и при распознавании дорожных знаков.

Первоначально был опробован линейный SVM, со стандартным параметром  $C$ , точность классификации была порядка .97. В случае с линейным классификатором было замечено, что изменение параметра  $C$  не изменяет результат в лучшую сторону, это происходило по той причине, что данные были линейно разделимы (при описанных выше параметрах HOG). Несмотря на высокую точность при простой проверке, кросс-валидация показала, что с такими параметрами точность не достаточно высока (точнее была ниже .93 на 1%) При использовании ядра gbf с параметром  $C = 150$  (изменения  $C$  в пределах  $\pm 100$  давали результат отличающийся по точности классификации лишь в тысячных) была получена достаточно высокая точность (на кросс-валидации .933...). Как оказалось и при тестировании на скрытой выборке была получена высокая точность в .9312.

## Заключение

В результате прохождения этой практики я приобрел базовые знания из области компьютерного зрения: получил информацию о развитии этой области компьютерных наук, узнал основные методы обработки изображений, а также получил более расширенное представление о машинном обучении и его приложениях в компьютерном зрении. Отдельно стоит отметить то, что выполнение практических заданий было хорошей практикой в использовании python и numpy, также в результате выполнения этих заданий я ближе познакомился с популярными библиотеками для обработки изображений и машинного обучения. Последнее, но не менее важное — практика в самостоятельном изучении ранее не знакомой дисциплины.

Все эти знания и практические навыки будут полезны в будущем при обучении на факультете и при самообразовании. Прохождение этой практики может в дальнейшем немного упростить освоение курсов по компьютерному зрению и машинному обучению, ведь зная некоторые основы области изучать её проще, также полезен будет и опыт использования python для выполнения практических заданий. Скорее всего большая часть, приобретенных в результате прохождения практики знаний, также пригодится и в дальнейшей работе, так как в современном мире машинное обучение и компьютерное зрение применяется практически повсеместно.

Так как курс, на базе которого построена практика предполагает введение в компьютерное зрение, понятно что полученные знания — лишь вершина айсберга. В дальнейшем мне хотелось бы более подробно и глубоко изучить эту область компьютерных наук.

## Список используемых источников

- [1] Library of congress. *Чудеса фотографии: восстановление фотографического наследия С. М. Прокудина-Горского*. URL: <http://www.loc.gov/exhibits/empire/empire-ru.html>.
- [2] Navneet Dalal и Bill Triggs. “Histograms of Oriented Gradients for Human Detection”. В: *CVPR*. 2005, с. 886—893.
- [3] Satya Mallick. *Histogram of Oriented Gradients*. URL: <http://www.learnopencv.com/histogram-of-oriented-gradients/>.
- [4] scikit-image. *skimage source code*. URL: <https://github.com/scikit-image/scikit-image>.